

- ме горения перхлората аммония // Изв. АН СССР. Сер. хим.— 1966.— № 3.— С. 422.
6. Fong C. W., Smith R. F. The effect of binder, particle size and catalys on the burning rates of PETN and RDX composite propellants // Combust. Sci. Technol.— 1988.— 57.— P. 1.
  7. Kubota N. et al. Combustion of nitramine composite propellants // AIAA Paper.— 1981.— 81.— P. 1582.
  8. Fong C. W., Hamshere B. L. The mechanism of burning rate catalysis in composite propellants by transition metal complexes // Combust. Flame.— 1986.— 65.— P. 71.
  9. Manelis G. B., Strunin V. A. The mechanism of ammonium perchlorate burning // Ibid.— 1971.— 17.— P. 69.
  10. Струнин В. А., Фирсов А. Н. и др. Режимы горения летучих веществ, разлагающихся в конденсированной и газовой фазах // ФГВ.— 1986.— 22, № 1.— С. 40.
  11. Орлов В. Н. Исследование высокотемпературной кинетики процессов, протекающих при горении перхлората аммония и смесевых систем: Канд. дис.— Новосибирск, 1983.
  12. Струнин В. А., Фирсов А. Н. и др. Закономерности гетерогенного горения слоевой системы // ФГВ.— 1989.— 25, № 5.— С. 25.
  13. Boggs T. L. Deflagration rate, surface structure and subsurface profile of self-deflagration single crystals of ammonium perchlorate // AIAA. J.— 1970.— 8, N 5.— P. 867.

*n. Черного лавки*

*Поступила в редакцию 27/VII 1992*

УДК 546.621 + 541.182.024

*Ю. А. Мазалов, В. В. Богданова, Л. С. Иващенко,  
Г. Я. Павловец, В. В. Чиннов*

## **СОСТАВ И СТРУКТУРА УЛЬТРАДИСПЕРСНЫХ ПОРОШКОВ НА ОСНОВЕ АЛЮМИНИЯ**

Методами рентгенографии, калориметрии и атомно-эмиссионного анализа исследованы состав и структура ультрадисперсных порошков на основе алюминия. Образцы получены совместной электродуговой плазменной переконденсацией алюминия и легирующего металла (медь, хром, цинк, кобальт). Установлено, что состав и структура легированных ультрадисперсных порошков алюминия определяются природой легирующего металла.

Одно из эффективных направлений повышения реакционной активности алюминия — перевод частиц металла в ультрадисперсное состояние (размер частиц менее 1 мкм). Ультрадисперсные порошки (УДП), полученные высокоскоростным (более  $10^6$  К/с) охлаждением металлов в жидком и парообразном состояниях, характеризуются нарушением идеальной структуры кристаллов, что обусловливает повышение их реакционной способности. Один из путей дальнейшего увеличения последней — легирование алюминия другими металлами, так как вакансии, примесные атомы внедрения и замещения повышают дефектность структуры и, следовательно, реакционную способность.

Неравновесные условия совместного осаждения алюминия и легирующего металла оказывают влияние на растворимость последнего в твердом алюминии и на фазовый состав продуктов (см., например, [1]).

В настоящей работе исследованы состав и структура УДП, полученные электродуговой плазменной переконденсацией Al и легирующего металла, в качестве которого использовались Cu, Cr, Zn и Co.

В экспериментах использовались металлические алюминий, медь, хром, цинк и кобальт марки ч. Исходное массовое содержание легирующего металла составляло 5 %. УДП получены совместной переконденсацией Al и легирующего металла по методу [2]. При этом скорость охлаждения металлов составляла  $10^6$  К/с. Элементный состав полученных

© Ю. А. Мазалов, В. В. Богданова, Л. С. Иващенко, Г. Я. Павловец, В. В. Чиннов,  
1993.

Таблица 1

УДП Al—M	Al, %	M, %	Другие ме- таллы и Si, %	C: H	Максимальная растворимость (равновесное ус- ловие) [1]
Al	95,4	—	0,032	0,68; 0,46	—
Al—Cu	89,7	4,4	0,232	—	5,67
Al—Cr	90,1	2,4	0,331	—	0,77
Al— {Cu, Cr}	90,2	1,4 2,3	0,031 0,031	0,53; 0,44 0,53; 0,44	— —
Al—Zn	92,1	2,6	0,042	—	82,8
Al—Co	90,8	1,8	0,232	—	0,02

При мечание. Содержание связанных кислорода не определялось. При получении УДП Al—(Cu, Cr) взято 5 % легирующих металлов с массовым соотношением Cu : Cr = 1 : 2.

УДП исследовали с помощью атомно-эмиссионного спектрального анализа на кварцевом спектрографе ИСП-28. Погрешность определения массового содержания элемента не превышала 10 %.

Рентгенографический анализ проводился на дифрактометре HZG 4A (ГДР, Карл Цейсс, Иена) с использованием излучения CuK $\alpha$  (Ni-фильтр). Скорость записи рентгенограмм для фазового анализа составляла 1 град/мин. Для определения параметров элементарных ячеек кристаллических решеток применяли запись со стандартом (Si-стандарт) со скоростью 0,5 град/мин. Термоаналитические данные получены на термоанализаторе TA-3000 (Mettler, Швейцария).

В табл. 1 представлены данные по элементному составу полученных УДП Al—M, а также указана максимальная растворимость легирующего металла в твердом алюминии в равновесных условиях. Очевидно, что при получении УДП такие металлы, как Cr и Co, взяты в избытке по отношению к указанной максимальной растворимости. Их содержание в УДП Al—Cr и Al—Co превышает равновесную растворимость в твердом алюминии в 3 и 90 раз соответственно.

Как и следовало ожидать [3], исследованные УДП на основе Al имеют повышенную дефектность кристаллической структуры, что проявляется в характере тепловыделения при их нагревании в инертной атмосфере до температуры плавления Al (см. рисунок). Для всех образцов характерны три зоны тепловыделения: 100—400, 400—500 и 500—600 °C. Тепловыделение первой и второй зон, вероятно, обусловлено анигиляцией дефектов кристаллической структуры частиц УДП. При повторном прогреве эти тепловые эффекты не отмечаются. В первой зоне для всех УДП наряду с экзотермическим эффектом наблюдается эндотермическое превращение в диапазоне 180—220 °C, которое, вероятно, связано с оксидно-гидроксидными превращениями (переход гиббсита в бимит). Это предположение подтверждается исчезновением эндоэффекта при повторном нагреве образцов и его отсутствием при термоанализе неокисленных пирофорных УДП.

Третья зона тепловыделения обусловлена структурными превращениями (изменениями фазового состава) при прогреве УДП. С целью объяснения особенностей термических превращений в УДП при  $T > 500$  °C проведен анализ фазового состава легированных УДП и его изменения при прогреве (500 °C, 30 мин).

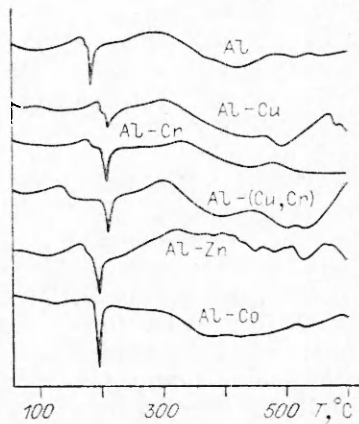


Таблица 2

Легирующий элемент	УДП без термической обработки		УДП после термической обработки	
	Кристаллическая фаза	Параметры ячейки, Å	Кристаллическая фаза	Параметры ячейки, Å
—	Al	4,047	Al	4,047
Cu	Тв. раствор на основе Al, CuAl <sub>2</sub> (сл.)	4,039	Al, CuAl <sub>2</sub>	4,046
Cr	Al, Cr <sub>2</sub> Al <sub>13</sub> , Al <sub>2</sub> O <sub>3</sub> (сл.)	4,046	Al, Cr <sub>2</sub> Al <sub>13</sub> , Al <sub>2</sub> O <sub>3</sub> (сл.)	4,046
Cu, Cr	Al, Cr <sub>2</sub> Al <sub>13</sub> (сл.)	4,046	Al, Cr <sub>2</sub> Al <sub>13</sub> , Al <sub>2</sub> O <sub>3</sub> (сл.)	4,047
Zn	Al, Zn, Al <sub>2</sub> O <sub>3</sub> (сл.)	4,046	—	—
Co	Al, δ-Al <sub>2</sub> O <sub>3</sub> , Co	4,046	Al, δ-Al <sub>2</sub> O <sub>3</sub> , Co	4,046

Примечание. При наличии оксида алюминия в виде следов определение его кристаллической модификации не представляется возможным. Прокаливание УДП Al — Zn приводит к его сгоранию.

Согласно рентгенографическим данным, УДП Al—Cu представляет собой твердый раствор меди в алюминии с параметром кубической элементарной ячейки  $a = 4,039$  (1) Å, что существенно ниже такового для нелегированного ультрадисперсного Al (табл. 2). Согласно [4], параметр элементарной ячейки алюминия  $a = 4,0494$  Å. В УДП Al—Cu обнаруживаются также следовые количества интерметаллического соединения CuAl<sub>2</sub>. Прокаливание УДП Al—Cu приводит к распаду твердого раствора — выделению интерметаллической фазы CuAl<sub>2</sub> (тетрагональная сингония, параметры элементарной ячейки  $a = 6,063$  Å,  $c = 4,872$  Å [5]). Стадии распада твердого раствора при прокаливании здесь не изучались, однако следует ожидать, что они соответствуют стадиям старения сплавов Al—Cu [6]. Можно полагать, что на кривой ДСК УДП Al—Cu (кривая 2) распаду твердого раствора отвечает область температур 500—600 °C.

Согласно рентгенографическим данным, фазовый состав УДП Al—Cr представлен алюминием, интерметаллическим соединением Cr<sub>2</sub>Al<sub>13</sub>, а также следовыми количествами оксида алюминия. Прокаливание не изменяет фазового состава, что подтверждается также термоаналитическими исследованиями.

Кристаллические фазы УДП Al—(Cu, Cr) представлены алюминием и следовыми количествами Cr<sub>2</sub>Al<sub>13</sub>. Термическая обработка приводит к дополнительной кристаллизации последнего, а также появлению оксида алюминия. Весьма неожиданно, что присутствие Cu никоим образом себя не обнаруживает, хотя она содержится в достаточном количестве. Учитывая, что металлические радиусы хрома и меди весьма близки (1,27 и 1,28 Å соответственно), можно предположить, что в УДП Al—(Cu, Cr) содержится смешанный интерметаллид (Cu, Cr)<sub>2</sub>Al<sub>13</sub>, где атомы Cu статистически располагаются в позициях атомов хрома структуры. Анализ кривой 4 дает основание полагать, что при  $T > 550$  °C начинаются процессы фазовых изменений в УДП Al—(Cu, Cr). Возможно им соответствует выделение (Al, Cu)-интерметаллической фазы (например, CuAl<sub>2</sub>).

УДП Al—Zn включают кристаллические алюминий, цинк и следы оксида алюминия. Прокаливание порошка в инертной атмосфере приводит к сгоранию образца (в остаточном кислороде), что согласуется с термоаналитическими исследованиями (кривая 5).

Фазовый состав УДП Al—Co представлен алюминием, оксидом алюминия (δ-модификация), а также кристаллическим кобальтом (β-модификация). Прокаливание УДП не изменяет фазового состава, что подтверждается термоаналитическими данными (линия).

Итак, выполненные исследования легированных ультрадисперсных порошков алюминия показывают, что их состав и структура зависят от

природы модифицирующего металла. Существенно неравновесные условия получения УДП обуславливают высокую степень дефектности их структуры. Ряд дефектов характерен как для легированных, так и для нелегированного УДП алюминия. Другая часть дефектов обусловлена наличием специфических структурно-фазовых образований. Легирование металлами УДП алюминия должно повышать их реакционную активность (например, интенсифицировать процессы окисления Al на ранних стадиях горения), однако следует ожидать, что степень влияния различных металлов будет различной.

#### ЛИТЕРАТУРА

1. Энтони У. Х. и др. Алюминий: свойства и физическое металловедение.— М.: Металлургия, 1989.
2. Морохов И. Д., Трусов Л. И. Ультрадисперсные металлические среды.— М.: Атомиздат, 1977.
3. Петров Ю. И. Физика малых частиц.— М.: Наука, 1982.
4. Swanson H. E., Tatge E. Standard X-ray diffraction powder patterns. National Bureau of Standards, Circular 539.— 1953.— V. 1.
5. Having E. et al. // J. Less-Common Metals.— 1972.— 27.— P. 169.
6. Hornbogen E. // Aluminium.— 1969.— 43.— P. 115.
7. Cooper J. // Acta Crystallogr.— 1960.— 13.— P. 257.

г. Минск

Поступила в редакцию 13/VIII 1991

УДК 662.215.4

*C. M. Рябых, B. C. Долганов, K. Ш. Карабукаев*

#### НЕТЕРМИЧЕСКОЕ ИНИЦИРОВАНИЕ ВЗРЫВА АЗИДОВ СЕРЕБРА И СВИНЦА ИМПУЛЬСОМ БЫСТРЫХ ЭЛЕКТРОНОВ

На основании сравнительного анализа литературных данных по возбуждению детонации инициирующих ВВ простым энергетическим импульсом (удар, трение, вспышка света, луч огня), интерпретируемых с помощью тепловой теории взрыва, и экспериментальных результатов по инициированию взрыва ВВ импульсом быстрых электронов, рассматривается модель нетермического инициирования взрыва азидов серебра и свинца при облучении их плотным пучком быстрых электронов. Предполагается, что в данном случае очаг инициирования находится в области с сильно возбужденной электронной подсистемой, образуемой путем концентрирования генерируемых излучением свободных электронов и дырок.

Для интерпретации возбуждения детонации в инициирующих взрывчатых веществах (ИВВ) при импульсном энергетическом воздействии с успехом использовалась тепловая теория взрыва [1], в которой рассматривалось преобразование механической или световой энергии в тепловую с дальнейшим созданием очага инициирования («горячей точки», размеры которого 0,1—10 мкм, а температура 400—600 °С) или зажигание ИВВ сильно поглощающими свет посторонними включениями (продуктами медленного химического разложения, которые при воздействии лазерного импульса нагреваются до температуры вспышки [2]). Однако такой подход вызывает серьезные трудности при интерпретации результатов по инициированию взрыва ИВВ лазерными и электронными импульсами, при которых минимальная энергия инициирующего импульса составляет для азидов тяжелых металлов сотые доли джоулей на квадратный сантиметр [2, 3], что дает разогрев приповерхностного слоя на несколько десятков градусов, тогда как температура вспышки этих веществ ~300 °С [4]. Это позволяет предположить существование нетеплового механизма возбуждения детонации ИВВ при воздействии коротких импульсов излучения.

© С. М. Рябых, В. С. Долганов, К. Ш. Карабукаев, 1993.